

УДК 519.63

## Численное исследование спектральных свойств периодического массива квантовых точек с гексагональной решёткой, помещённого в однородное магнитное поле

Гришанов Е. Н., Грязева О. С.

Национальный исследовательский Мордовский государственный университет

Периодические массивы наноразмерных объектов различной структуры в последнее время привлекают пристальное внимание специалистов в качестве источника новых материалов, обладающих уникальными свойствами. Особое внимание уделяется структурам с различной геометрией решётки на основе квантовых точек. Исследователям удалось создать такие массивы как с квадратной [1] так и с гексагональной [2, 3] решёткой и экспериментально изучить их свойства в магнитных полях. В этой связи представляется актуальным построение и исследование свойств математических моделей массивов квантовых точек различной геометрии в магнитных полях.

Будем рассматривать периодический массив квантовых точек на плоскости, помещённый во внешнее перпендикулярное однородное магнитное поле  $\mathbf{B}$ . Для удобства будем отождествлять точки плоскости массива с точками комплексной плоскости  $\mathbb{C}$ . Тогда решётка периодов массива квантовых точек может быть описана при помощи множества

$$\Omega = \{\lambda \in \mathbb{C} : \lambda = \lambda_1\omega_1 + \lambda_2\omega_2, \lambda_1, \lambda_2 \in \mathbb{Z}\},$$

где  $\omega_1, \omega_2 \in \mathbb{C}$  – образующие решётки. В гексагональном случае решётка  $\Omega$  будет ромбической с образующими:  $\omega_1 = l$ ,  $\omega_2 = le^{\frac{\pi}{3}i}$ , а кристаллическая решётка массива  $\Gamma = \Omega + K$ , где  $K = \{0, b\}$ ,  $b = \frac{2}{3}(\omega_1 + \omega_2)$ . Считаем, что в каждом узле решетки  $\Gamma$  расположена квантовая точка, площадь которой равна  $\frac{1}{4}$  площади элементарной ячейки,  $l$  – сторона ромба. Через  $F_\lambda$  будем далее обозначать элементарную ячейку, отвечающую  $\lambda \in \Omega$ .

Выберем векторный потенциал поля  $\mathbf{B}$  в виде

$$A_1(z) = -\frac{B}{2}Im(z), \quad A_2(z) = \frac{B}{2}Re(z), \quad A_3(z) = 0, \quad z \in \mathbb{C}.$$

Тогда гамильтониан свободной заряженной частицы в массиве квантовых точек можно формально записать в виде следующего дифференциального оператора

$$H^0 = \frac{1}{2m^*} \left( \frac{\hbar}{i} \nabla - \frac{e}{c} \mathbf{A}(z) \right)^2 + V(z), \quad (1)$$

где  $m^*$  – эффективная масса частицы,  $e$  – ее заряд,  $c$  – скорость света, а  $V(z) = \sum_{\gamma \in \Gamma} V_\gamma(z)$  – потенциал конфайнмента массива квантовых точек. Будем считать, что все квантовые точки одинаковы и имеют параболический потенциал конфайнмента, тогда  $V_\gamma(z) = \frac{\hbar^2 |z - \gamma|^2}{2m^* d^4}$ , где  $d$  – характерный размер квантовой точки. Далее будем использовать систему единиц, где  $\hbar = e = c = 1$ ,  $m^* = \frac{1}{2}$ .

Очевидно, что оператор (1) не является самосопряженным. Для построения математической модели воспользуемся процедурой сужения-расширения, предложенной в [4]. Рассмотрим сужение  $S$  оператора  $H^0$  на пространство  $\mathcal{D} = \bigoplus_{\lambda \in \Omega} C_0^\infty(F_\lambda \setminus \{\lambda + K\})$ . Будем искать резольвенту  $R_A$  гамильтониана модели  $H$  как самосопряжённое расширение  $S$  при помощи формулы М. Г. Крейна для резольвент [5]

$$R_A(z) = R_0(z) - B(z)[Q(z) - A]^{-1}B^*(\bar{z}), \quad (2)$$

где  $R_0$  – резольвента невозмущённого оператора,  $B$  и  $Q$  –  $\Gamma$ - и  $Q$ - функции Крейна соответственно,  $A$  – самосопряжённый оператор в пространстве граничных значений, параметризующий расширения (в нашем случае его можно считать изоморфным  $l^2(\Omega) \otimes \mathcal{G}_K$ ,  $\dim \mathcal{G}_K = |K|$ ). Среди всех расширений нас интересуют только те, которые будут инварианты относительно операторов представления дискретной группы магнитных трансляций по решетке  $\Omega$  с образующими  $T_j\psi(z) = e^{\pi i \text{Im}(B\omega_j z)}[\omega_j]\psi(z)$ , где  $[\cdot]$  – обычная трансляция по решётке. Этот факт даёт нам следующее условие на матрицу оператора  $A$

$$A(\gamma, \gamma') = \exp(\pi i \xi \text{Im}(\overline{(\gamma' - \gamma)}(\gamma' - k)))A(\gamma - \gamma' + k, k), \quad (3)$$

где  $\gamma, \gamma' \in \Gamma$ ,  $k \in K$ ,  $\xi$  – плотность потока магнитного поля  $\mathbf{V}$ . Также будем считать, что в рассматриваемой нами модели туннелирование заряженной частицы возможно только в соседнюю квантовую точку, что даёт нам дополнительное условие

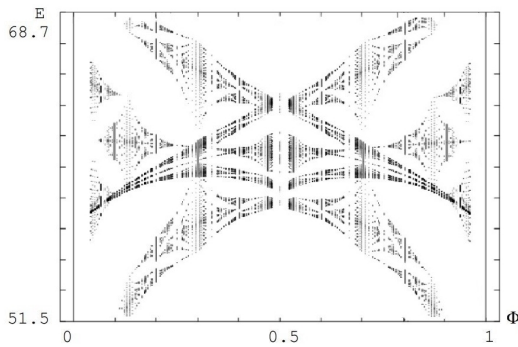
$$A(u, b) = \begin{cases} \alpha, & u = \omega_1, \omega_2, \omega_1 + \omega_2, \\ 0, & \text{во всех остальных случаях,} \end{cases} \quad (4)$$

$\alpha$  – константа, выбираемая из физических соображений.

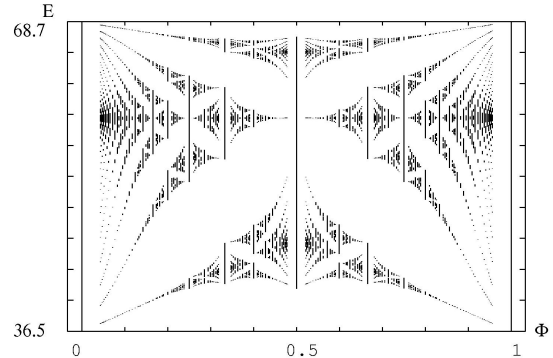
В случае рациональных значений магнитного потока  $\Phi = N/M$  ( $N \in \mathbb{Z}, M \in \mathbb{N}$ ) через элементарную ячейку решётки  $\Omega$  возможно провести разложение оператора  $H$  в прямой интеграл по спектру неприводимых представлений группы магнитных трансляций и свести исследование спектра оператора  $H$  к решению т. н. дисперсионного уравнения

$$\det[\tilde{Q}(\mathbf{p}, z) - \tilde{A}(\mathbf{p})] = 0, \quad (5)$$

где  $\mathbf{p} \in \mathbb{T}_\Phi^2 = [0, 1/M) \times [0, 1)$ , матрицы  $\tilde{Q}(\mathbf{p}, z)$  и  $\tilde{A}(\mathbf{p})$  – самосопряжённые конечной размерности  $2M \times 2M$ . Блоки матрицы  $\tilde{Q}(\mathbf{p}, z)$  находим, используя результаты [4] и [6], а элементы  $\tilde{A}(\mathbf{p})$  определяем из условий (3) и (4) и результатов [4].



**Рис. 1.** Диаграмма «поток-энергия» для гексагональной решётки



**Рис. 2.** Диаграмма «поток-энергия» для квадратной решётки

Из (2) ясно, что спектр гамильтониана  $H$  модели будет состоять из двух частей: бесконечно вырожденных собственных значений

$$E_{nm} = \sqrt{B^2 + \frac{2}{d^2}(|m| + 1 + 2n)} + Bm, \quad (n \in \mathbb{N}, m \in \mathbb{Z}, m \neq 0, -1)$$

гамильтониана одиночной квантовой точки, и решений уравнения (5). Поскольку матрицы  $\tilde{A}$  и  $\tilde{Q}$  получены в явном виде, для решения уравнения (5) можно использовать стандартные численные методы линейной алгебры. В результате проведённых вычислений для  $\alpha = 0.1$  была получена диаграмма зависимости энергии  $E$  заряженной частицы от потока  $\Phi$  однородного магнитного поля в моделируемой системе, приведённая на рис. 1. Из диаграммы видно, что для рациональных значений потока  $\Phi$  каждая из зон спектра распадается на  $2M$  подзон. Сравнение с аналогичной диаграммой для квадратной решётки (рис. 2) показывает, что в ширина зон становится меньше, число лагун в спектре увеличивается. Особенно отчётливо это заметно при  $\Phi = 1/2$ , где в случае квадратной решётки вообще отсутствуют лагуны в зоне проводимости. Кроме того, существенно меняется сама структура спектра.

Полученный результат показывает, что геометрия решётки оказывает значительное влияние на спектральные свойства периодического массива квантовых точек в однородном магнитном поле.

## Литература

1. Micro and Nano Fabrication Technology. Springer. 2018. Vol. 1. 957 p.
2. Tianxiao Nie, Xufeng Kou at al. Superlattice of  $Fe_xGe_{1-x}$  nanodots and nanolayers for spintronics application // Nanotechnology. 2014. Vol. 25. 505702.
3. Jong-Ryul Jeong, Sarah Kim at al. Fabrication of Hexagonal Lattice Co/Pd Multilayer Nanodot Arrays Using Colloidal Lithography// Small. 2007. Vol. 3, No. 9. pp. 1529-1533.
4. Geyler V. A., Pavlov B. S., Popov I. Yu. One-Particle Spectral Problem for Superlattice with a Constant Magnetic Field // Atti Sem. Mat. Fis. Univ. Modena. – 1998. – Vol. XLVI. – pp. 79–124.
5. Крейн М. Г., Об эрмитовых операторах с дефект-индексами, равными единице // Докл. АН СССР. – 1944. – Т. XLII, № 8. – С. 57–63.
6. Попов А. В. Спектральные свойства периодических массивов квантовых точек и колец в магнитном поле: Дисс. ... канд. физ.-мат. наук. – Саранск, 2000. – 179 с.

MSC2020 35Q40

# Numerical Analysis of the Spectral Properties of Quantum Dots Array with Hexagonal Lattice in a Uniform Magnetic Field

E. N. Grishanov, O. S. Gryazeva

National Research Mordovia State University